

## 2層緩衝構造を設置した実規模落石防護擁壁の重錐衝突実験

Falling-weight Impact Test on Prototype Rock-Keeping Retaining Wall with Two-Layered Absorbing System

株式会社構造工学研究所	○ 正員 川瀬 良司 (Ryoji Kawase)
室蘭工業大学	正員 岸 徳光 (Norimitsu Kishi)
北海道開発土木研究所	正員 今野 久志 (Hisashi Konno)
室蘭工業大学	正員 岡田 慎哉 (Shinya Okada)

### 1. はじめに

山岳道路沿いには、小規模落石等に対する防災対策の一つとして落石防護擁壁が設置されている。現在、落石防護擁壁は、落石対策便覧<sup>1)</sup>に基づき、擁壁を剛体と仮定し、落石の持つ運動エネルギーと支持地盤の弾性振動時の最大ポテンシャルエネルギーとが等価であるとの考え方の基に設計が行われている。従って、通常無筋コンクリート製（以下、C 製）の重力式擁壁が用いられている。

しかしながら、現実には、落石衝突時にひび割れやコンクリート片の剥離、剥落が度々発生している。また、著者らは、これまでに C 製落石防護擁壁の実験<sup>2)</sup>より損傷形態および耐衝撃性を検証している。それらの状況から、落石防護擁壁の耐衝撃性を向上させる簡易的な方法として鉄筋コンクリート構造（以下 RC 製）とした場合の実験<sup>3)</sup>も行ってきた。一方、落石防護擁壁の背面に 2 層緩衝構造を設置する方法を提案し、緩衝性能および応力分散性能に関する検討<sup>4)</sup>を行っている。提案の 2 層緩衝構造は、表層材が RC 版、裏層材が発泡スチロール（以下、EPS）材から構成される。

本研究では、2 層緩衝構造を設置した実規模落石防護擁壁の重錐衝突実験を行い、C 製、RC 製と比較することにより耐衝撃性の向上効果について検討をおこなった。2 層緩衝構造を設置した落石防護擁壁は、C 製を用いた。擁壁規模は、高さ 2m 延長 8m の実規模形状を採用し、EPS の厚さによる緩衝効果も検討することから、RC 版と EPS の厚さを変化させた場合についても実験を行った。実験時の測定項目は、重錐衝撃力波形、擁壁各点の変位であり、実験終了時のひび割れ分布も観察している。

### 2. 実験概要

#### 2.1 実験方法

落石防護擁壁（以下擁壁）は、一般的に良質な支持層に根入れされていることから、本実験では擁壁の転倒および損傷のみに着目することとし、コンクリート基礎上にストッパーを設けて水平移動を拘束することとした。重錐は、直径 1m の円柱状で、高さ 97cm、底部の高さ 17.5cm 部が球状で、質量 2,000kg の鋼製である。衝撃荷重は、門型フレームに吊り下げられた重錐をトラッククレーンで所定の高さまで吊り上げ、着脱装置による振り子運動によって作用させることとした。本研究での C 製および RC 製については、各予備試験体

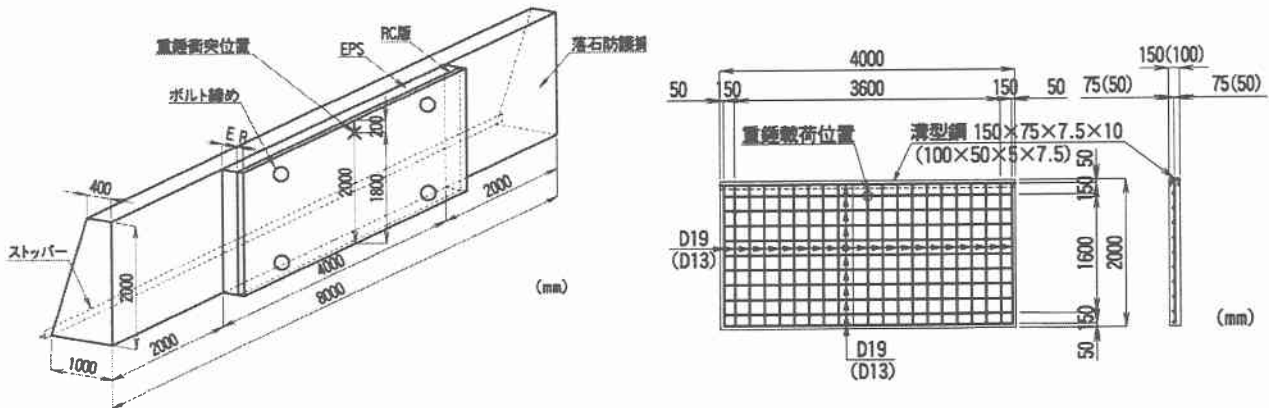
を用い、初期および増分衝突速度を 1m/sec として終局に至るまで繰り返し載荷を行い、終局時の載荷速度を把握した。また、その衝突速度と同一の速度による単一載荷実験も実施している。2 層緩衝構造を用いる場合には、過去の予備実験から終局時を迎えるまで擁壁が損傷しないことより、各衝突速度に対する実験においては、緩衝構造のみを取り替えている。測定項目は、歪ゲージ型加速度計による重錐加速度、レーザ式変位計による擁壁各点の変位波形である。写真-1 には実験風景を示している。



写真-1 実験風景

表-1 実験ケース一覧

実験ケース	構造型式	緩衝構造		衝突速度 (m/s)
		EPS厚さ (cm)	RC版厚さ (cm)	
C-V4	無筋構造	—	—	4.0
RC-V6		—	—	6.0
C-E25-R10-V1		25	10	1.0
C-E25-R10-V3				3.0
C-E25-R10-V5				5.0
C-E25-R10-V7				7.0
C-E25-R10-V9				9.0
C-E25-R10-V11				11.0
C-E50-R15-V1		50	15	1.0
C-E50-R15-V3				3.0
C-E50-R15-V5				5.0
C-E50-R15-V7				7.0
C-E50-R15-V9				9.0
C-E50-R15-V11				11.0



(a) 2層緩衝構造を設置した落石防護擁壁形状

(b) RC版厚15cm(RC版厚10cm)の寸法及び配筋状況

図-1 2層緩衝構造供試体形状とRC版形状

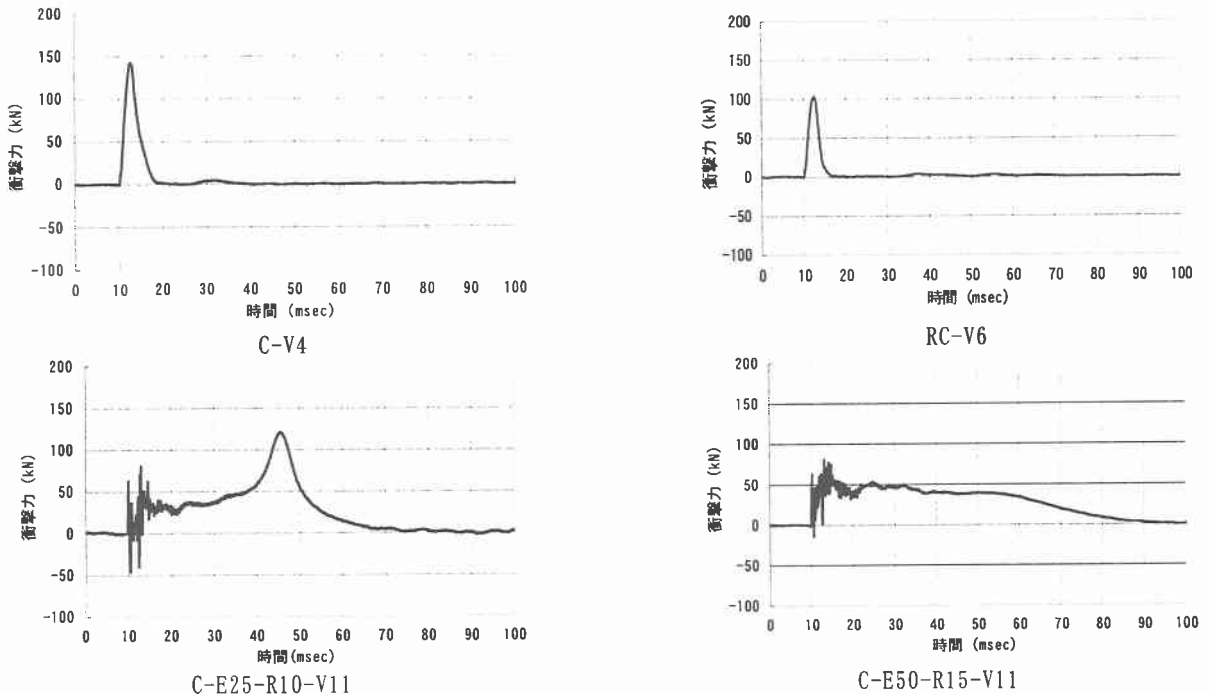


図-2 C製、RC製、2層緩衝構造の重錐衝撃力波形

## 2.2 実験ケース

擁壁の断面形状は、実構造で多用されている標準断面<sup>5)</sup>を参考に、擁壁高さをH=2.0m、天端および基部の壁厚をそれぞれ0.4m、1.0mとした。延長は落石対策便覧の有効幅を考慮し、擁壁高さの4倍である8.0mとした。表-1には実験ケースの一覧を示している。

表中の実験ケースは、擁壁の構造形式(C:無筋構造、RC:鉄筋構造)、2層緩衝材を設置したケースについては、EPSの厚さE(cm)、RC版の厚さR(cm)、衝突速度V(m/s)をハイフンで結び表している。重錐衝突位置は、全て設計時の最も厳しい条件である基部から0.9H(1.8m)の点に限定した。実験ケースの内、C-E25-R10では、衝突速度11m/sで擁壁の載荷点を中心に鉛直方向に大きなひび割れが発生し終局に至った。一方、C-E50-R15の場合には、衝突速度11m/sで擁壁に損傷は発生しなかったが、実験装置の能力が限界であったため実験を終了している。

実験時のコンクリートの力学特性は、C製、RC製、2

層緩衝構造の擁壁、RC版の材齢は85日、60日、23日、23日であり、平均圧縮強度はf<sub>c</sub>=18.7Mpa、26.4Mpa、22.3Mpa、25.0Mpaである。RC製の場合の鉄筋量は、断面に対して0.2%程度としSD345D16を幅および高さ方向に300mmピッチで配置している。2層緩衝構造用のRC版は単鉄筋とし、鉄筋量は、直交方向の鉄筋比を等しく1.0%程度で、RC版の厚さ10cm、15cmの各々に対してSD345D13、D19を200mmピッチに配置した。また、RC版天端部には補強を目的として溝型鋼を設置し、縦方向鉄筋を溶接して定着させている。図-1に2層緩衝構造を設置した落石防護擁壁形状とRC版の形状寸法および配筋状況を示す。

## 3. 実験結果

### 3.1 重錐衝撃力波形

図-2には、C製、RC製、2層緩衝構造の重錐衝撃力波形を示す。ただし、重錐衝撃力波形は2.5msec矩形移動平均の処理を施したものである。なお、重錐衝撃

力は重錐加速度に重錐質量を乗じて評価している。終局時の重錐衝突速度から、2層緩衝構造を設置した場合には、C製および緩衝材を設置していないRC構造よりそれぞれ7.6倍以上、3.4倍以上落石のエネルギー的に耐衝撃性に優れていることがわかる。また、図より終局時のC-V4、RC-V6、C-E25-R10-V11の最大重錐衝撃力は、100kN～140kN程度である。一方、擁壁に損傷が発生しなかったC-E50-R15-V11の最大重錐衝撃力は70kN程度であった。衝撃力波形は、C製、RC製の直角三角形に類似した分布性状を示しているのに対し、2層緩衝構造のC-E50-R15-V11は、RC版衝突時における10ms間に高周波が発生するが、その後振幅が一様な波形が40ms程度継続し、さらに30ms程度で緩やかに零レベルに収斂する台形分布性状を示している。載荷時間と比較すると2層緩衝構造を適用する場合、C製、RC製に比べ4～5倍程度伸びており、2層緩衝構造の緩衝効果が発揮されていることがわかる。また、C-E25-R10-V11の衝撃力波形に着目すると、衝突開始から45msec後に最大衝撃力が発生している。これは、実験の状況から重錐の衝撃エネルギーが大きいことにより、重錐がRC版、EPSを貫通して擁壁に衝突するためと推察される。

### 3.2 最大重錐衝撃力と衝突速度の関係

図-3には最大重錐衝撃力と重錐衝突速度の関係を示している。衝突速度が同程度の場合の最大重錐衝撃力は、C-V4、RC-V6に比べC-E25-R10が1/3程度以下、C-E50-R15が1/2程度以下の値であり、2層緩衝構造を用いた場合が緩衝性能に優れていることが明らかになった。2層緩衝構造を設置した実験の最大衝撃力を比較すると、衝突速度が11m/sの実験ケースを除き、C-E25-R10がC-E50-R15の1/2程度となっている。これは、R10の場合がR15の場合に比べてRC版の剛性が小さく、重錐衝突時の変形や損傷が大きいことにより、入力エネルギーを吸収するためと推察される。また、C-E25-R10-V11は、重錐衝撃力波形で述べたように、最大重錐衝撃力は、RC版が押しぬきせん断により破壊され、EPSを貫通し擁壁に衝突することで発生し、そのために前者より増大したと考えられる。一方、C-E50-R15は、衝突速度が7m/s以上の実験ケースから最大重錐衝撃力がほぼ水平に近い値となっておりEPSの塑性変形によりエネルギーが吸収されているものと考えられる。このことから、EPSの緩衝効果、RC版の分散効果を考慮すると、RC版の厚さは、重錐質量が2,000kg、衝突速度が11m/s程度であれば15cm程度が妥当であると考えられる。

### 3.3 最大変位と衝突速度の関係

図-4には最大変位と重錐衝突速度の関係を示している。最大変位は、重錐衝突点線上の天端近傍部（天端20cm下方）に設置したレーザー式変位計から得られた最大値を用いており、擁壁は水平移動を拘束していることから、測定結果は擁壁の回転運動が主要なものと思われる。

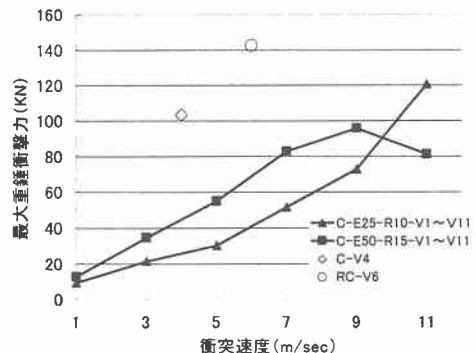


図-3 最大重錐衝撃力と衝突速度の関係

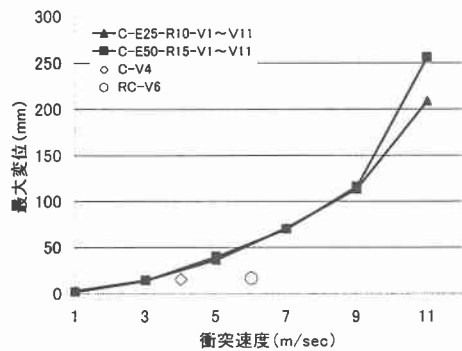


図-4 最大変位と衝突速度の関係

2層緩衝構造を設置した実験のC-E25-R10とC-E50-R15を比較すると、衝突速度11m/sの実験ケースを除き最大変位が同程度であり、重錐衝撃エネルギーに比例している。また、C-V4、RC-V6、C-E25-R10-V11は、擁壁にひび割れが発生していることから重錐衝突エネルギーの損失が発生し、最大変位量が減少したものと考えられる。従って、衝突速度と最大変位の値は、擁壁にひび割れが発生しない場合には、C製、RC製、2層緩衝構造のEPSおよびRC版の厚さに関わらず重錐衝突エネルギーにほぼ比例するものと推察される。

### 3.4 ひび割れ状況

図-5には実験終了後の擁壁の壁面もしくは2層緩衝構造のRC版重錐衝突面に関するひび割れ分布を示している。C製の正面側（衝突面）は、重錐衝突位置近傍にひび割れが集中し、背面側は水平に分布するひび割れと中心部で鉛直に貫通するひび割れが発生している。RC製の正面側（衝突面）は、載荷点を中心とした同心円状のひび割れが発生しており、背面側では、載荷点より上の部分が局所的に剥離する傾向を示している。また、ひび割れは載荷点を中心とする半径2m程度の領域に発生している。一方、2層緩衝構造を設置したC-E25-R10-V11のRC版衝突面は、重錐径程度の部分が剥落し放射状にひび割れが発生している。また、擁壁背面に載荷点を中心とした鉛直方向に貫通するひび割れが発生している。C-E50-R15-V11のRC版衝突面は、載荷点を中心として同心円状および放射状のひび割れが発生したが、擁壁にはひび割れなどの損傷は発生していない。これらのことから、2層緩衝構造を用いることにより、擁壁の載荷点近傍の局所的損傷を抑制することが可能であると考えられる。

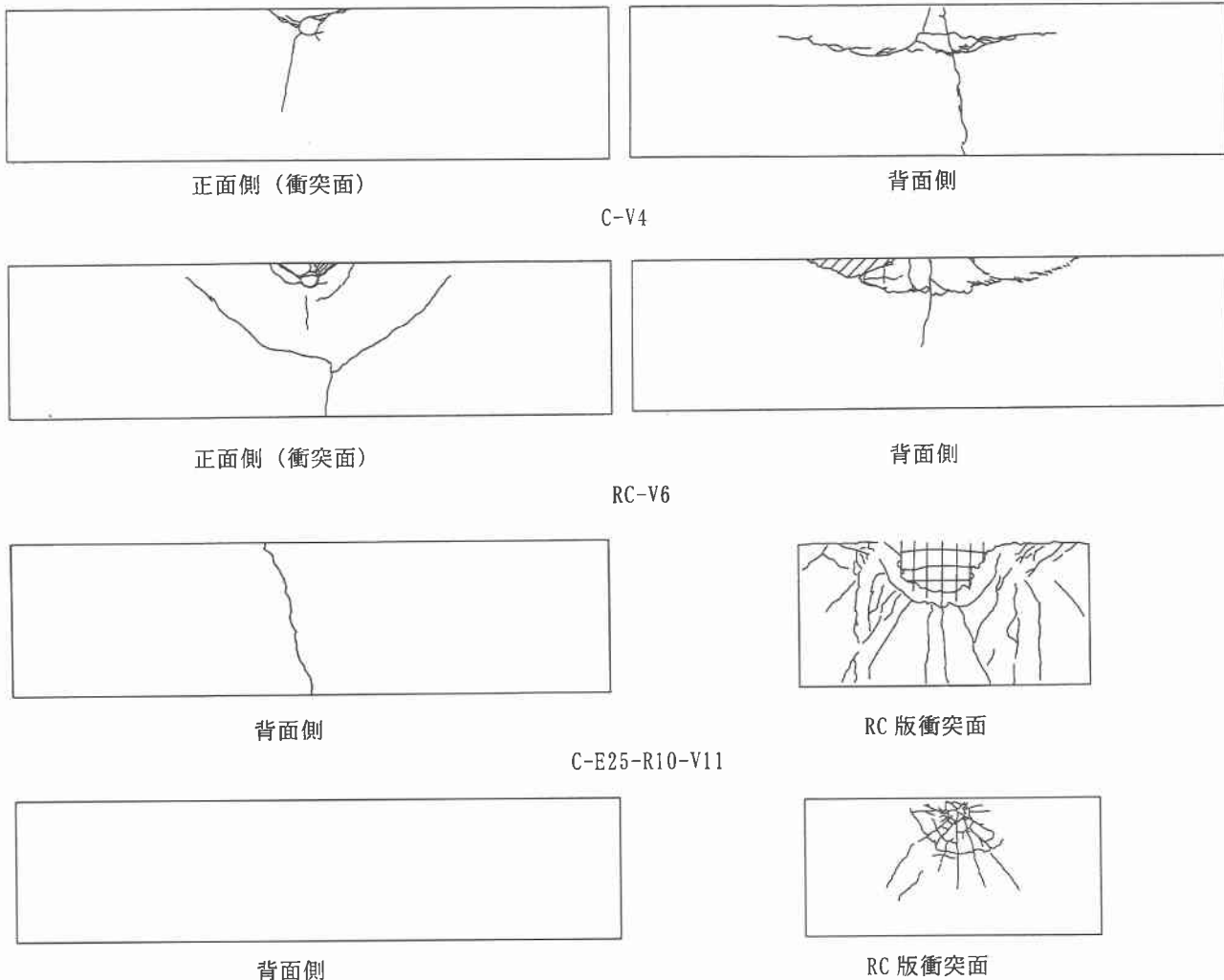


図-5 ひび割れ分布

#### 4.まとめ

本実験では、2層緩衝構造を設置した落石防護擁壁の耐衝撃性を検討するために、緩衝構造を設置していないC製、RC製を比較すると伴に、2層緩衝構造のEPSおよびRC版の厚さを変化させた場合についての比較検討をおこなった。本研究で得られた結果を要約すると、以下のように示される。

- (1) 2層緩衝構造は落石エネルギーに関して、C製に比べ7倍以上、RC製に比べ3倍以上の緩衝効果を期待できる。
- (2) 2層緩衝構造は、C製、RC製に比べ衝撃力波形の継続時間を4~5倍程度伸ばすことが可能であり、緩衝性能に優れている。
- (3) 2層緩衝構造のRC版の厚さは、EPSの緩衝効果、RC版の分散効果を考慮すると、15cm程度が妥当である。
- (4) 擁壁の最大変位は、C製、RC製、2層緩衝構造のEPSおよびRC版の厚さに関わらず重錘衝突エネルギーにほぼ比例する。
- (5) 2層緩衝構造を用いることにより、擁壁載荷点近傍の局所的損傷を抑制できる。

#### 参考文献

- 1) (社)日本道路協会：平成12年度版落石対策便覧，2000.6.
- 2) 岸 徳光、佐藤 昌志、今野 久志、松岡健一：落石防護擁壁の重錘衝突実験と数値解析的検討、構造工学論文集, Vol. 45A, pp.1677-1688, 1999.3.
- 3) 川瀬 良司、岸 徳光、今野 久志、池田憲二：RC製落石防護擁壁の耐衝撃性向上効果、コンクリート工学年次論文集, Vol. 23, No. 3, pp.1357-1362, 2001.7
- 4) 岸 徳光、川瀬 良司、池田 憲二、松岡健一：二層緩衝構造の緩衝特性に関する重錘落下実験と数値解析的検討、構造工学論文集, Vol. 47A, pp.1621-1632, 2001.3.
- 5) 全日本建設技術協会：土木構造物標準設計第2巻擁壁類、建設省監修、1987.